

Московский авиационный институт
(национальный исследовательский университет)

Факультет информационных технологий и прикладной
математики

Кафедра вычислительной математики и программирования

Лабораторная работа №4
Задание №1 по курсу «Численные методы»
Вариант №12

Студент: С. М. Власова
Преподаватель: И. Э. Иванов
Группа: М8О-306Б
Дата:
Оценка:
Подпись:

Москва, 2020

Задание №4.1

Реализовать методы Эйлера, Рунге-Кутты и Адамса 4-го порядка в виде программ, задавая в качестве входных данных шаг сетки h . С использованием разработанного программного обеспечения решить задачу Коши для ОДУ 2-го порядка на указанном отрезке. Оценить погрешность численного решения с использованием метода Рунге-Ромберга и путем сравнения с точным решением.

Вариант: 12

Задача Коши:

$$\begin{cases} (x^2 + 1) \cdot y'' - 2x \cdot y' + 2y = 0, \\ y(0) = 1, \\ y'(0) = 1, \\ x \in [0, 1], h = 0.1. \end{cases} \quad (1)$$

Точное решение: $y = x - x^2 + 1$.

1 Описание метода решения

1 ЧИСЛЕННЫЕ МЕТОДЫ РЕШЕНИЯ ОБЫКНОВЕННЫХ ДИФФЕРЕНЦИАЛЬНЫХ УРАВНЕНИЙ

1.1 ЧИСЛЕННЫЕ МЕТОДЫ РЕШЕНИЯ ЗАДАЧИ КОШИ

Задача Коши для обыкновенного дифференциального уравнения.

Рассматривается задача Коши для одного дифференциального уравнения первого порядка, разрешенного относительно производной

$$\begin{cases} y' = f(x, y) \\ y(x_0) = y_0 \end{cases} \quad (2)$$

Требуется найти решение на отрезке $[a, b]$, где $x_0 = a$.

Введем разностную сетку на отрезке $[a, b]$: $\Omega^{(k)} = \{x_k = x_0 + hk\}$, $k = 0, 1, \dots, N$, $h = |b - a|/N$. Точки x_k называются *узлами* разностной сетки, расстояния между узлами — *шагом* разностной сетки (h), а совокупность значений какой-либо величины, заданных в узлах сетки называется *сеточной функцией* $y^{(h)} = \{y_k, k = 0, 1, \dots, N\}$.

Приближенное решение задачи Коши будем искать *численно* в виде сеточной функции $y^{(h)}$. Для оценки погрешности приближенного численного решения $y^{(h)}$ будем рассматривать это решение как элемент $N + 1$ - мерного линейного векторного пространства с какой-либо нормой. В качестве погрешности решения принимается норма элемента этого пространства $\delta^{(h)} = y^{(h)} - [y]^{(h)}$, где $[y]^{(h)}$ — точное решение задачи Коши в узлах расчетной сетки. Таким образом, $\varepsilon_h = \|\delta^{(h)}\|$.

Одношаговые методы.

Метод Эйлера (явный).

Метод Эйлера играет важную роль в теории численных методов решения ОДУ, хотя и не часто используется в практических расчетах из-за невысокой точности. Вывод расчетных соотношений для этого метода может быть произведен несколькими способами: с помощью геометрической интерпретации, с использованием разложения в ряд Тейлора, конечно разностным методом (с помощью разностной аппроксимации производной), квадратурным способом (использованием эквивалентного интегрального уравнения).

Рассмотрим вывод соотношений метода Эйлера геометрическим способом. Решение в узле x_0 известно из начальных условий, рассмотрим процедуру получения решения в узле x_1 рис.4.1.

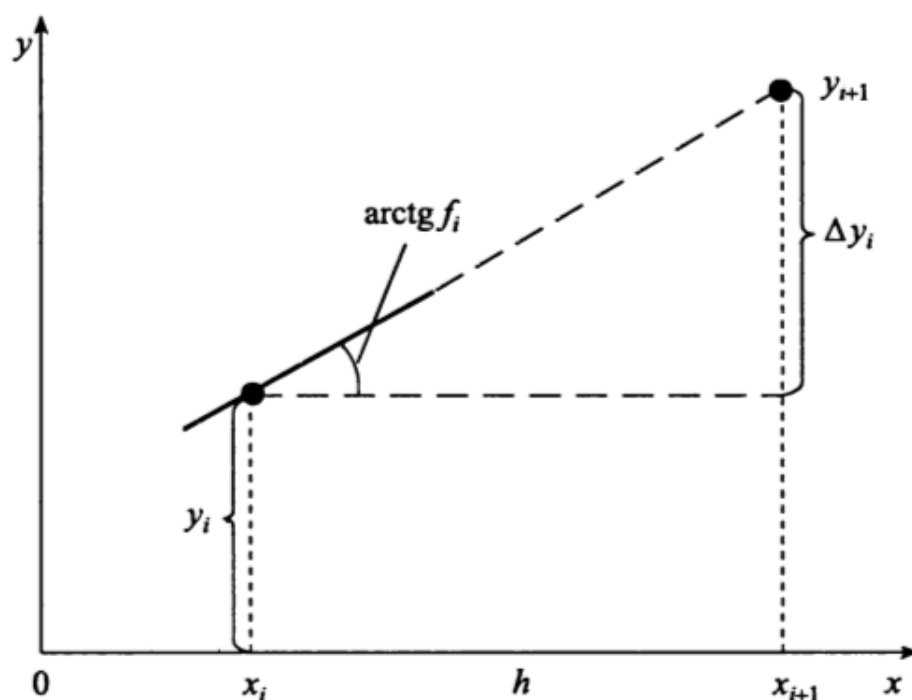


Рис. 4.1. Геометрический смысл метода Эйлера

График функции $y^{(h)}$, которая является решением задачи Коши, представляет собой гладкую кривую, проходящую через точку (x_0, y_0) согласно условию

$$y(x_0) = y_0,$$

и имеет в этой точке касательную. Тангенс угла наклона касательной к оси O_x равен значению производной от решения в точке x_0 и равен значению правой части дифференциального уравнения в точке (x_0, y_0) согласно выражению

$$y'(x_0) = f(x_0, y_0).$$

В случае небольшого шага разностной сетки h график функции и график касательной не успевают сильно разойтись друг от друга, и можно в качестве значения решения в узле x_1 принять значение касательной y_1 , вместо значения неизвестного точного решения y_1 . При этом допускается погрешность $y_1 - y_1$.

Из прямоугольного треугольника (рис.4.1) находим

$$\Delta y = h \cdot y'(x_0).$$

Учитывая, что $\Delta y = y_1 - y_0$ и заменяя производную $y'(x_0)$ на правую часть дифференциального уравнения, получаем соотношение

$$y_1 = y_0 + h \cdot f(x_0, y_0).$$

Считая теперь точку (x_1, y_1) начальной и повторяя все предыдущие рассуждения, получим значение y_2 в узле x_2 .

Переход к произвольным индексам дает **формулу Эйлера**:

$$y_{k+1} = y_k + h \cdot f(x_k, y_k).$$

Погрешность метода Эйлера.

На каждом шаге метода Эйлера допускается *локальная* погрешность по отношению к точному решению, график которого проходит через крайнюю левую точку отрезка. Кроме того, на каждом шаге, начиная со второго, накапливается *глобальная* погрешность, представляющая собой разность между численным решением и точным решением исходной начальной задачи (а не локальной).

Локальная ошибка на каждом шаге выражается соотношением

$$\varepsilon_k^h = \frac{y''(\xi)}{2} \cdot h^2,$$

где $\xi \in [x_{k-1}, x_k]$. Глобальная погрешность метода Эйлера $\varepsilon^h = C \cdot h$ в окрестности $h = 0$ ведет себя, как линейная функция и, следовательно, метод Эйлера имеет первый порядок точности относительно шага h .

Модификации метода Эйлера.

Неявный метод Эйлера.

Если на правой границе интервала использовать точное значение производной от решения (т.е. тангенса угла наклона касательной), то получается неявный метод Эйлера первого порядка точности.

$$y_{k+1} = y_k + h \cdot f(x_{k+1}, y_{k+1}).$$

В общем случае нелинейное относительно y_{k+1} уравнение численно решается с помощью одного из методов раздела 2, например, методом Ньютона или его модификациями.

Метод Эйлера-Коши.

В данном методе на каждом интервале расчет проводится в два этапа. На первом (этап прогноза) определяется приближенное решение на правом конце интервала по методу Эйлера, на втором (этап коррекции) уточняется значение решения на правом конце с использованием полусуммы тангенсов углов наклона на концах интервала

$$\begin{aligned}\tilde{y}_{k+1} &= y_k + h \cdot f(x_k, y_k), \\ y_{k+1} &= y_k + h \cdot \frac{f(x_k, y_k) + f(x_{k+1}, \tilde{y}_{k+1})}{2}, \\ x_{k+1} &= x_k + h.\end{aligned}$$

Этот метод имеет второй порядок точности.

Неявный метод Эйлера-Коши.

Если на правой границе интервала использовать точное значение производной к решению (т.е. тангенса угла наклона касательной), то получается неявный метод Эйлера-Коши (метод трапеций) второго порядка точности.

$$\begin{aligned}y_{k+1} &= y_k + h \cdot \frac{f(x_k, y_k) + f(x_{k+1}, y_{k+1})}{2}, \\ x_{k+1} &= x_k + h.\end{aligned}$$

Метод Эйлера-Коши с итерационной обработкой.

Комбинация предыдущих модификационных методов дает метод формально второго порядка точности, но более точного в смысле абсолютной величины погрешности приближенного решения, чем исходные методы.

$$\begin{aligned}y_{k+1}^{(0)} &= y_k + h \cdot f(x_k, y_k), \\ y_{k+1}^{(i)} &= y_k + h \cdot \frac{f(x_k, y_k) + f(x_{k+1}, y_{k+1}^{(i-1)})}{2}, \\ x_{k+1} &= x_k + h.\end{aligned}$$

В формуле правые верхние индексы в круглых скобках обозначают номер итерации, при этом начальное приближение $y_{k+1}^{(0)}$ определяется по методу Эйлера. Метод Эйлера-Коши с итерационной обработкой представляет собой реализацию метода простой итерации для решения нелинейного уравнения в неявном методе Эйлера. Выполнять простые итерации до полной сходимости нет смысла, поэтому рекомендуется выполнять 3-4 итерации.

Первый улучшенный метод Эйлера.

Данный метод использует расчет приближенного значения производной от решения в точке на середине расчетного интервала. Значение производной в середине получают применением явного метода Эйлера на половинном шаге по x .

$$\begin{aligned}y_{k+1/2} &= y_k + \frac{h}{2} \cdot f(x_k, y_k), \\y_{k+1} &= y_k + h \cdot f(x_{k+1/2}, y_{k+1/2}), \\x_{k+1} &= x_k + h, \\x_{k+1/2} &= x_k + \frac{h}{2}.\end{aligned}$$

Данная модификация Эйлера имеет второй порядок точности.

Методы Рунге-Кутты.

Все рассмотренные выше явные методы являются вариантами методом Рунге-Кутты. Семейство явных методов Рунге-Кутты p -го порядка записывается в виде совокупности формул:

$$\begin{aligned}y_{k+1} &= y_k + \Delta y_k, \\ \Delta y_k &= \sum_{i=1}^p c_i K_i^k, \\ K_i^k &= h \cdot f(x_k + a_i \cdot h, y_k + h \cdot \sum_{j=1}^{i-1} b_{ij} K_j^k), \quad i = 2, 3, \dots, p.\end{aligned}$$

Параметры a_i , b_{ij} , c_i подбираются так, чтобы значение y_{k+1} совпадало со значением разложения в точке x_{k+1} точного решения в ряд Тейлора с погрешностью $O(h^{p+1})$.

Метод Рунге-Кутты третьего порядка точности.

Один из методов Рунге-Кутты третьего порядка ($p = 3, a_1 = 0, a_2 = \frac{1}{3}, a_3 = \frac{2}{3}, b_{21} = \frac{1}{3}, b_{31} = 0, b_{32} = \frac{2}{3}, c_1 = \frac{1}{4}, c_2 = 0, c_3 = \frac{3}{4}$) имеет вид:

$$\begin{aligned}y_{k+1} &= y_k + \Delta y_k, \\ \Delta y_k &= \frac{1}{4}(K_1^k + 3 \cdot K_3^k), \\ K_1^k &= h \cdot f(x_k, y_k),\end{aligned}$$

$$K_2^k = h \cdot f(x_k + \frac{1}{3}h, y_k + \frac{1}{3}K_1^k),$$

$$K_3^k = h \cdot f(x_k + \frac{2}{3}h, y_k + \frac{2}{3}K_2^k).$$

Метод Рунге-Кутты четвертого порядка точности.

Методов Рунге-Кутты четвертого порядка ($p = 4, a_1 = 0, a_2 = \frac{1}{2}, a_3 = \frac{1}{2}, a_4 = 1, b_{21} = \frac{1}{2}, b_{31} = 0, b_{32} = \frac{1}{2}, b_{41} = 0, b_{42} = 0, b_{43} = \frac{1}{2}, c_1 = \frac{1}{6}, c_2 = \frac{1}{3}, c_3 = \frac{1}{3}, c_4 = \frac{1}{6}$) является одним из самых широко используемых методов решения задачи Коши:

$$y_{k+1} = y_k + \Delta y_k,$$

$$\Delta y_k = \frac{1}{6}(K_1^k + 2 \cdot K_2^k + 2 \cdot K_3^k + K_4^k),$$

$$K_1^k = h \cdot f(x_k, y_k),$$

$$K_2^k = h \cdot f(x_k + \frac{1}{2}h, y_k + \frac{1}{2}K_1^k),$$

$$K_3^k = h \cdot f(x_k + \frac{1}{2}h, y_k + \frac{1}{2}K_2^k). K_4^k = h \cdot f(x_k + h, y_k + K_3^k).$$

Контроль точности на каждом шаге h .

Основным способом контроля точности получаемого численного решения при решении задачи Коши является методы основанные на принципе Рунге-Ромберга-Ричардсона. Пусть y^h решение задачи Коши, полученное методом Рунге-Кутты p -го порядка точности с шагом h в точке $x + 2h$. Пусть y^{2h} решение той же задачи в точке $x + 2h$, полученное тем же методом, но с шагом $2h$. Тогда выражение

$$\tilde{y} = y^h + \frac{y^h - y^{2h}}{2^p - 1}$$

аппроксимирует точное решение в точке $x + 2h$ $y(x + 2h)$ с $p + 1$ -м порядком.

Второе слагаемое в этом выражении оценивает главный член в погрешности решения y^h , то есть

$$R^h = \frac{y^h - y^{2h}}{2^p - 1}.$$

Контроль точности может быть организован следующим образом. Выбирается значение шага h и дважды рассчитывается решение в точке $x + 2h$ — один раз с шагом h , другой раз с шагом $2h$. Рассчитывается величина R^h и сравнивается с заданной точностью ε . Если величина R^h меньше заданной точности, то можно продолжить вычисления с тем же шагом, в противном случае необходимо вернуться к решению в точке x , уменьшить шаг h и повторить вычисления.

$$\theta^k = \left| \frac{K_2^k - K_3^k}{K_1^k - K_2^k} \right|.$$

Если величина θ^k порядка нескольких сотых единицы, то расчет продолжается с тем же шагом, если θ^k больше одной десятой, то шаг следует уменьшить, если же θ^k меньше одной сотой, то шаг можно увеличить.

Решение задачи Коши для системы обыкновенных дифференциальных уравнений.

[illegible]

$$\begin{cases} y_1(x_0) = y_{01} \\ y_2(x_0) = y_{02} \\ \dots\dots\dots \\ y_n(x_0) = y_{0n} \end{cases} \quad (4)$$

$$\bar{y}' = \bar{F}(x, y),$$

Здесь $\bar{y}(x) = (y_1, y_2, \dots, y_n)^T$ – вектор-столбец неизвестных функций, $\bar{F} = (f_1, f_2, \dots, f_n)^T$ – вектор-функция правых частей.

8

x и шага h .

Рассмотрим задачу Коши для системы двух ОДУ первого порядка, где уравнения записаны в развернутом виде

$$\begin{cases} y' = f(x, y, z) \\ z' = g(x, y, z) \\ y(x_0) = y_0 \\ z(x_0) = x_0 \end{cases} \quad (5)$$

Формулы метода Рунге-Кутты 4-го порядка точности для решения системы следующие:

$$\begin{aligned} y_{k+1} &= y_k + \Delta y_k, \\ z_{k+1} &= z_k + \Delta z_k, \\ \Delta y_k &= \frac{1}{6}(K_1^k + 2 \cdot K_2^k + 2 \cdot K_3^k + K_4^k), \\ \Delta z_k &= \frac{1}{6}(L_1^k + 2 \cdot L_2^k + 2 \cdot L_3^k + L_4^k), \\ K_1^k &= h \cdot f(x_k, y_k, z_k), \\ L_1^k &= h \cdot g(x_k, y_k, z_k), \\ K_2^k &= h \cdot f(x_k + \frac{1}{2}h, y_k + \frac{1}{2}K_1^k, z_k + \frac{1}{2}L_1^k), \\ L_2^k &= h \cdot g(x_k + \frac{1}{2}h, y_k + \frac{1}{2}K_1^k, z_k + \frac{1}{2}L_1^k), \\ K_3^k &= h \cdot f(x_k + \frac{1}{2}h, y_k + \frac{1}{2}K_2^k, z_k + \frac{1}{2}L_2^k), \\ L_3^k &= h \cdot g(x_k + \frac{1}{2}h, y_k + \frac{1}{2}K_2^k, z_k + \frac{1}{2}L_2^k), \\ K_4^k &= h \cdot f(x_k + h, y_k + K_3^k, z_k + L_3^k), \\ L_4^k &= h \cdot g(x_k + h, y_k + K_3^k, z_k + L_3^k). \end{aligned}$$

Контроль правильности выбора шага h в случае использования метода Рунге-Кутты четвертого порядка точности для системы ОДУ может быть организован с помощью вычисления на каждом шаге h параметров

$$\theta_1^k = \left| \frac{K_2^k - K_3^k}{K_1^k - K_2^k} \right|, \quad \theta_2^k = \left| \frac{L_2^k - L_3^k}{L_1^k - L_2^k} \right|.$$

Если величины θ_i^k , $i = 1, 2, \dots$ порядка нескольких сотых единицы, то расчет продолжается с тем же шагом, если больше одной десятой, то шаг следует уменьшить,

если же меньше одной сотой, то шаг можно увеличить.

Решение задачи Коши для ОДУ второго и более высоких порядков.

Задача Коши для n -го порядка ставится следующим образом

$$y^{(n)} = f(x, y, y', y'', \dots, y^{(n-1)})$$

$$\begin{cases} y(x_0) = y_0 \\ y'(x_0) = y_{01} \\ y''(x_0) = y_{02} \\ \dots\dots\dots \\ y^{(n-1)}(x_0) = y_{0(n-1)} \end{cases} \quad (6)$$

Здесь $y^{(m)} = \frac{d^m y}{dx^m}$ производная m порядка от решения, $m = 1, 2, \dots, n$.

Основной прием используемый при решении задач такого типа заключается в введении новых переменных и сведении задачи для ОДУ высокого порядка к решению системы ОДУ первого порядка.

Введем новые переменные

$$\begin{cases} z_1 = y' \\ z_2 = y'' \\ \dots\dots\dots \\ z_{n-1} = y^{(n-1)}, \end{cases} \quad (7)$$

тогда исходную задачу можно переписать в виде n ОДУ первого порядка

$$\begin{cases} y' = z_1 \\ z_1' = z_2 \\ \dots\dots\dots \\ z_{n-2}' = z_{n-1} \\ z_{n-1}' = f(x, y, z_1, \dots, z_{n-1}) \end{cases} \quad (8)$$

$$\begin{cases} y(x_0) = y_0 \\ z_1(x_0) = y_{01} \\ z_2(x_0) = y_{02} \\ \dots\dots\dots \\ z_{n-1}(x_0) = y_{0(n-1)} \end{cases} \quad (9)$$

Полученная система, состоящая из n ОДУ первого порядка с соответствующими начальными условиями решается любым из описанных методов.

Пусть необходимо решить задачу Коши для ОДУ второго порядка:

$$\begin{cases} y'' = f(x, y, y') \\ y(x_0) = y_0 \\ y'(x_0) = y_{01} \end{cases} \quad (10)$$

Путем введения замены $z = y'$, сведем ОДУ второго порядка к системе:

$$\begin{cases} y' = z \\ z' = f(x, y, z) \\ y(x_0) = y_0 \\ z(x_0) = y_{01}, \end{cases} \quad (11)$$

которую можно решить, например, с использованием метода Рунге-Кутты.

Многошаговые методы. Метод Адамса.

Многошаговые методы решения задачи Коши характеризуются тем, что решение в текущем узле зависит от данных не в одном предыдущем узле, как это имеет место в одношаговых методах, а от нескольких предыдущих узлах. Многие многошаговые методы различного порядка точности можно конструировать с помощью квадратурного способа (т.е. с использованием эквивалентного интегрального уравнения).

Решение дифференциального уравнения $y' = f(x, y)$ удовлетворяет интегральному соотношению:

$$y_{k+1} = y_k + \int_{x_k}^{x_{k+1}} f(x, y(x)) dx$$

Если решение задачи Коши получено в узлах вплоть до k -го, то можно аппроксимировать подынтегральную функцию, например: интерполяционным многочленом какой-либо степени. Вычислив интеграл от построенного многочлена на отрезке $[x_i, x_{i+k}]$ получим ту или иную формулу Адамса. В частности, если использовать многочлен нулевой степени (то есть заменить подынтегральную функцию ее значением на левом конце отрезка в точке x_k), то получим явный метод Эйлера. Если проделать то же самое, но подынтегральную функцию аппроксимировать значением на правом конце в точке x_{k+1} , то получим неявный метод Эйлера.

Метод Адамса.

При использовании интерполяционного многочлена 3-й степени построенного по

значениям подынтегральной функции в последних четырех узлах получим метод Адамса четвертого порядка точности:

$$y_{k+1} = y_k + \frac{h}{24} \cdot (55f_k - 59f_{k-1} + 37f_{k-2} - 9f_{k-3}),$$

где f_k значение подынтегральной функции в узле x_k .

Метод Адамса как и все многошаговые методы не является самостартующим, то есть для того, что бы использовать метод Адамса необходимо иметь решения в первых четырех узлах. В узле x_0 решение y_0 известно из начальных условий, а в других трех узлах x_1, x_2, x_3 решения y_1, y_2, y_3 можно получить с помощью подходящего одношагового метода, например: метода Рунге-Кутты четвертого порядка.

2 Моя задача

Задача Коши:

$$\begin{cases} (x^2 + 1) \cdot y'' - 2x \cdot y' + 2y = 0, \\ y(0) = 1, \\ y'(0) = 1, \\ x \in [0, 1], h = 0.1. \end{cases} \quad (12)$$

Точное решение: $y = x - x^2 + 1$.

Сведем ОДУ второго порядка к решению системы ОДУ первого порядка. Для этого введем новые переменные.

Пусть $y = y_1$, тогда имеем:

$$\begin{cases} y'_1 = y_2 \\ y'_2 = \frac{2x \cdot y_2 - 2y_1}{x^2 + 1} \\ y_1(0) = 1 \\ y_2(0) = 1 \\ x \in [0, 1], h = 0.1 \end{cases} \quad (13)$$

Решение системы ОДУ первого порядка методом Эйлера:

При $n = \frac{b-a}{h}$, $i = 0, 1, \dots, n$:

$$y_1[i+1] = y_1[i] + h \cdot y_2[i];$$

$$y_2[i+1] = y_2[i] + h \cdot f(x[i], y_1[i], y_2[i]),$$

где

$$f = \frac{2x \cdot y_2 - 2y_1}{x^2 + 1};$$

$$x[i+1] = x[i] + h.$$

Решение системы ОДУ первого порядка методом Рунге-Кутты:

При $n = \frac{b-a}{h}$, $i = 0, 1, \dots, n$:

$$y_1[i+1] = y_1[i] + \Delta y_1[i],$$

$$y_2[i+1] = y_2[i] + \Delta y_2[i],$$

$$\Delta y_1[i] = \frac{1}{6}(K_1^i + 2 \cdot K_2^i + 2 \cdot K_3^i + K_4^i),$$

$$\Delta y_2[i] = \frac{1}{6}(L_1^i + 2 \cdot L_2^i + 2 \cdot L_3^i + L_4^i),$$

$$\begin{aligned}
K_1^i &= h \cdot y_2[i], \\
L_1^i &= h \cdot f(x[i], y_1[i], y_2[i]), \\
K_2^i &= h \cdot (y_2[i] + \frac{1}{2}L_1^i), \\
L_2^i &= h \cdot f(x[i] + \frac{1}{2}h, y_1[i] + \frac{1}{2}K_1^i, y_2[i] + \frac{1}{2}L_1^i), \\
K_3^i &= h \cdot (y_2[i] + \frac{1}{2}L_2^i), \\
L_3^i &= h \cdot f(x[i] + \frac{1}{2}h, y_1[i] + \frac{1}{2}K_2^i, y_2[i] + \frac{1}{2}L_2^i), \\
K_4^i &= h \cdot (y_2[i] + L_3^i), \\
L_4^i &= h \cdot f(x[i] + h, y_1[i] + K_3^i, y_2[i] + L_3^i),
\end{aligned}$$

где

$$\begin{aligned}
f &= \frac{2x \cdot y_2 - 2y_1}{x^2 + 1}, \\
x[i + 1] &= x[i] + h.
\end{aligned}$$

Решение системы ОДУ первого порядка методом Адамса:

Первые три значения y_1 , y_2 и y_3 находятся методом Рунге-Кутты по формулам, представленным выше.

Далее, согласно методу Адамса: При $n = \frac{b-a}{h}$, $i = 3, 4, \dots, n$:

$$\begin{aligned}
y_1[i + 1] &= y_1[i] + \frac{h}{24} \cdot (55y_2[i] - 59y_2[i - 1] + 37y_2[i - 2] - 9y_2[i - 3]); \\
y_2[i + 1] &= y_2[i] + \frac{h}{24} \cdot (55 \cdot f(x[i], y_1[i], y_2[i]) - 59 \cdot f(x[i - 1], y_1[i - 1], y_2[i - 1]) + \\
&\quad + 37 \cdot f(x[i - 2], y_1[i - 2], y_2[i - 2]) - 9f(x[i - 3], y_1[i - 3], y_2[i - 3])),
\end{aligned}$$

где

$$\begin{aligned}
f &= \frac{2x \cdot y_2 - 2y_1}{x^2 + 1}, \\
x[i + 1] &= x[i] + h.
\end{aligned}$$

3 Протокол

Входные данные я ввожу через консоль: значение шага h .

Выходные данные я вывожу на экран.

Скриншот консоли:

I. Метод Эйлера.

```
(base) vlasochka@vlasochka-VPCSB11FX:~/Документы/ЧМ/Lab4$ g++ 4.1-1.cpp -o 4.1-1
(base) vlasochka@vlasochka-VPCSB11FX:~/Документы/ЧМ/Lab4$ ./4.1-1
0.1
Решение задачи явным методом Эйлера задано таблично:
x = 0; y = 1
eps = 0; Погрешность по Рунге-Ромбергу = 0

x = 0.1; y = 1.1
eps = 0.01; Погрешность по Рунге-Ромбергу = 0.005

x = 0.2; y = 1.18
eps = 0.02; Погрешность по Рунге-Ромбергу = 0.0100498

x = 0.3; y = 1.2398
eps = 0.029802; Погрешность по Рунге-Ромбергу = 0.0150501

x = 0.4; y = 1.27921
eps = 0.0392117; Погрешность по Рунге-Ромбергу = 0.0199024

x = 0.5; y = 1.29804
eps = 0.0480422; Погрешность по Рунге-Ромбергу = 0.0245114

x = 0.6; y = 1.29612
eps = 0.0561159; Погрешность по Рунге-Ромбергу = 0.0287856

x = 0.7; y = 1.27327
eps = 0.0632668; Погрешность по Рунге-Ромбергу = 0.0326393

x = 0.8; y = 1.22934
eps = 0.0693411; Погрешность по Рунге-Ромбергу = 0.0359922

x = 0.9; y = 1.1642
eps = 0.0741973; Погрешность по Рунге-Ромбергу = 0.0387705

x = 1; y = 1.07771
eps = 0.0777061; Погрешность по Рунге-Ромбергу = 0.0409064

(base) vlasochka@vlasochka-VPCSB11FX:~/Документы/ЧМ/Lab4$ █
```


Решение ОДУ методом Эйлера:

x	y	ε
0	1	0
0.1	1.1	0.01
0.2	1.18	0.02
0.3	1.2398	0.029802
0.4	1.27921	0.0392117
0.5	1.29804	0.0480422
0.6	1.29612	0.0561159
0.7	1.27327	0.0632668
0.8	1.22934	0.0693411
0.9	1.1642	0.0741973
1	1.07771	0.0777061

Погрешность достаточно большая, т.к. явный метод Эйлера имеет первый порядок точности — численное решение совпадает с реляным решением до первого знака после запятой.

II. Метод Рунге-Кутты.

Решение ОДУ методом Рунге-Кутты:

x	y	ε
0	1	0
0.1	1.09	4.14591e-08
0.2	1.16	4.17591e-09
0.3	1.21	1.40984e-07
0.4	1.24	3.72462e-07
0.5	1.25	7.0078e-07
0.6	1.24	1.12655e-06
0.7	1.21	1.64904e-06
0.8	1.16	2.26652e-06
0.9	1.09	2.97671e-06
1	1	3.77712e-06

```

(base) vlasochka@vlasochka-VPCSB11FX:~/Документы/ЧМ/Lab4$ g++ 4.1-2.cpp -o 4.1-2
(base) vlasochka@vlasochka-VPCSB11FX:~/Документы/ЧМ/Lab4$ ./4.1-2
0.1
Решение задачи методом Рунге-Кутты задано таблично:
x_1 = 0; y_1 = 1
eps = 0; Погрешность по Рунге-Ромбергу = 0

x_2 = 0.1; y_2 = 1.09
eps = 4.14591e-08; Погрешность по Рунге-Ромбергу = 2.76507e-09

x_3 = 0.2; y_3 = 1.16
eps = 4.17591e-09; Погрешность по Рунге-Ромбергу = 8.06593e-11

x_4 = 0.3; y_4 = 1.21
eps = 1.40984e-07; Погрешность по Рунге-Ромбергу = 8.31241e-09

x_5 = 0.4; y_5 = 1.24
eps = 3.72462e-07; Погрешность по Рунге-Ромбергу = 2.26347e-08

x_6 = 0.5; y_6 = 1.25
eps = 7.0078e-07; Погрешность по Рунге-Ромбергу = 4.30214e-08

x_7 = 0.6; y_7 = 1.24
eps = 1.12655e-06; Погрешность по Рунге-Ромбергу = 6.95096e-08

x_8 = 0.7; y_8 = 1.21
eps = 1.64904e-06; Погрешность по Рунге-Ромбергу = 1.0205e-07

x_9 = 0.8; y_9 = 1.16
eps = 2.26652e-06; Погрешность по Рунге-Ромбергу = 1.40534e-07

x_10 = 0.9; y_10 = 1.09
eps = 2.97671e-06; Погрешность по Рунге-Ромбергу = 1.84816e-07

x_11 = 1; y_11 = 1
eps = 3.77712e-06; Погрешность по Рунге-Ромбергу = 2.34739e-07

(base) vlasochka@vlasochka-VPCSB11FX:~/Документы/ЧМ/Lab4$

```

Этот метод имеет четвертый порядок точности и, соответственно, численное решение, полученное методом Рунге-Кутты, имеет очень малую погрешность.

III. Метод Адамса.

```
(base) vlasochka@vlasochka-VPCSB11FX:~/Документы/ЧМ/Lab4$ g++ 4.1-3.cpp -o 4.1-3
(base) vlasochka@vlasochka-VPCSB11FX:~/Документы/ЧМ/Lab4$ ./4.1-3
0.1
Решение задачи методом Адамса задано таблично:
x_1 = 0; y_1 = 1
eps = 0; Погрешность по Рунге-Ромбергу = 0

x_2 = 0.1; y_2 = 1.09
eps = 4.14591e-08; Погрешность по Рунге-Ромбергу = 2.76507e-09

x_3 = 0.2; y_3 = 1.16
eps = 4.17591e-09; Погрешность по Рунге-Ромбергу = 4.42842e-10

x_4 = 0.3; y_4 = 1.21
eps = 1.40984e-07; Погрешность по Рунге-Ромбергу = 7.70491e-09

x_5 = 0.4; y_5 = 1.24
eps = 6.52765e-07; Погрешность по Рунге-Ромбергу = 4.07522e-08

x_6 = 0.5; y_6 = 1.25
eps = 1.06588e-06; Погрешность по Рунге-Ромбергу = 6.7196e-08

x_7 = 0.6; y_7 = 1.24
eps = 1.59237e-06; Погрешность по Рунге-Ромбергу = 1.01174e-07

x_8 = 0.7; y_8 = 1.21
eps = 2.14275e-06; Погрешность по Рунге-Ромбергу = 1.36717e-07

x_9 = 0.8; y_9 = 1.16
eps = 2.68449e-06; Погрешность по Рунге-Ромбергу = 1.71657e-07

x_10 = 0.9; y_10 = 1.09
eps = 3.25989e-06; Погрешность по Рунге-Ромбергу = 2.08814e-07

x_11 = 1; y_11 = 1
eps = 3.85724e-06; Погрешность по Рунге-Ромбергу = 2.47408e-07

(base) vlasochka@vlasochka-VPCSB11FX:~/Документы/ЧМ/Lab4$ █
```

Решение ОДУ методом Адамса:

x	y	ε
0	1	0
0.1	1.09	4.14591e-08
0.2	1.16	4.17591e-09
0.3	1.21	1.40984e-07
0.4	1.24	6.52765e-07
0.5	1.25	1.06588e-06
0.6	1.24	1.59237e-06
0.7	1.21	2.14275e-06
0.8	1.16	2.68449e-06
0.9	1.09	3.25989e-06
1	1	3.85724e-06

Этот метод имеет четвертый порядок точности и, соответственно, численное решение, полученное методом Адамса, имеет очень малую погрешность. Порядок погрешности совпадает с порядком погрешности метода Рунге-Кутты.

4 Исходный код

Листинг 1: Метод Эйлера

```
1 #include <stdio.h>
2 #include <iostream>
3 #include <vector>
4 #include <math.h>
5
6 double ExactVal(double x)
7 {
8     double val = x - pow(x, 2) + 1;
9     return val;
10 }
11
12 double F(double x, double y1, double y2)
13 {
14     double value = 2*(x*y2 - y1)/(pow(x, 2) + 1);
15     return value;
16 }
17
18 void ExEuler(std::vector<double>& y, std::vector<double>& eps, double h, int a, int b)
19 {
20     double n = (b - a)/h + 1;
21     double y_h = 1;
22     y[0] = 1;
23     eps[0] = fabs(ExactVal(a) - y[0]);
24     for(int i = 0; i < n-1; i++)
25     {
26         y[i+1] = y[i] + h*y_h;
27         y_h += h*F(a + h*i, y[i], y_h);
28         eps[i+1] = fabs(ExactVal(a + h*(i+1)) - y[i+1]);
29     }
30 }
31
32 int main()
33 {
34     double k = 0.5;
35     double h, n, m, x;
36     double y_h;
37     int b = 1;
38     int a = 0;
39     std::cin >> h;
```

```

40     n = (b-a)/h + 1;
41     m = (b-a)/(h*k) + 1;
42
43     std::vector<double> y(n);
44     std::vector<double> eps(n);
45     std::vector<double> rung(m);
46     std::vector<double> eps2(m);
47
48     ExEuler(y, eps, h, a, b);
49     ExEuler(rung, eps2, k*h, a, b);
50
51     std::cout << "The solution of the problem using the explicit Euler method is given in a table:"
52     << std::endl;
53     for(int i = 0; i < n; i++)
54     {
55         std::cout << "x = " << a + i*h << "; y = " << y[i] << std::endl;
56         std::cout << "eps = " << eps[i] << "; The error in the Runge–Romberg = " << fabs(y
57             [i]-rung[i/k]) << std::endl << std::endl;
58     }
59     return 0;
60 }

```

Листинг 2: Метод Рунге-Кутты

```

1  #include <stdio.h>
2  #include <iostream>
3  #include <vector>
4  #include <math.h>
5
6  double ExactVal(double x)
7  {
8      double val = x - pow(x, 2) + 1;
9      return val;
10 }
11
12 double F(double x, double y1, double y2)
13 {
14     double value = 2*(x*y2 - y1)/(pow(x, 2) + 1);
15     return value;
16 }
17
18 void Runge_Kutta(std::vector<double>& y, std::vector<double>& eps, double h, int a, int b)
19 {

```

```

20  int n = (b-a)/h + 1;
21  double y_h = 1;
22  int p = 4;
23  std::vector<double> K(p);
24  std::vector<double> L(p);
25  y[0] = 1;
26  eps[0] = fabs(ExactVal(a) - y[0]);
27
28  for(int i = 0; i < n-1; i++)
29  {
30      K[0] = h*y_h;
31      L[0] = h*F(a + h*i, y[i], y_h);
32      K[1] = h*(y_h + L[0]/2);
33      L[1] = h*F(a + h*i + h/2, y[i] + K[0]/2, y_h + L[0]/2);
34      K[2] = h*(y_h + L[1]/2);
35      L[2] = h*F(a + h*i + h/2, y[i] + K[1]/2, y_h + L[1]/2);
36      K[3] = h*(y_h + L[2]);
37      L[3] = h*F(a + h*i + h, y[i] + K[2], y_h + L[2]);
38      y[i+1] = y[i] + (K[0] + 2*K[1] + 2*K[2] + K[3])/6;
39      y_h += (L[0] + 2*L[1] + 2*L[2] + L[3])/6;
40      eps[i+1] = fabs(ExactVal(a + h*(i+1)) - y[i+1]);
41  }
42 }
43
44 int main()
45 {
46     double k = 0.5;
47     double h, h_r, x;
48     int n, m;
49     double y_h;
50     int a = 0;
51     int b = 1;
52
53     std::cin >> h;
54     h_r = h*k;
55     n = (b-a)/h + 1;
56     m = (b-a)/h_r + 1;
57
58     std::vector<double> y(n);
59     std::vector<double> eps(n);
60     std::vector<double> rung(m);
61     std::vector<double> eps2(m);
62
63     Runge_Kutta(y, eps, h, a, b);

```

```

64 Runge_Kutta(rung, eps2, h_r, a, b);
65
66 std::cout << "The solution of the problem by the Runge–Kutta method is given in a table:"
    << std::endl;
67 for(int i = 0; i < n; i++)
68 {
69     std::cout << "x_" << i + 1 << " = " << a + i*h << "; y_" << i + 1 << " = "
        << y[i] << std::endl;
70     std::cout << "eps = " << eps[i] << "; The error in the Runge–Romberg = " << fabs(y
        [i]–rung[i/k])/15 << std::endl << std::endl;
71 }
72 return 0;
73 }

```

Листинг 3: Метод Адамса

```

1 #include <stdio.h>
2 #include <iostream>
3 #include <vector>
4 #include <math.h>
5
6 double ExactVal(double x)
7 {
8     double val = x – pow(x, 2) + 1;
9     return val;
10 }
11
12 double F(double x, double y1, double y2)
13 {
14     double value = 2*(x*y2 – y1)/(pow(x, 2) + 1);
15     return value;
16 }
17
18 void Runge_Kutta(std::vector<double>& y, std::vector<double>& y2, std::vector<double>&
    eps, double h, int a, int b)
19 {
20     int n = 4;
21     int p = 4;
22     std::vector<double> K(p);
23     std::vector<double> L(p);
24     y[0] = y2[0] = 1;
25     eps[0] = fabs(ExactVal(0) – y[0]);
26     for(int i = 0; i < n–1; i++)

```



```

27 {
28     K[0] = h*y2[i];
29     L[0] = h*F(a + h*i, y[i], y2[i]);
30     K[1] = h*(y2[i] + L[0]/2);
31     L[1] = h*F(a + h*i + h/2, y[i] + K[0]/2, y2[i] + L[0]/2);
32     K[2] = h*(y2[i] + L[1]/2);
33     L[2] = h*F(a + h*i + h/2, y[i] + K[1]/2, y2[i] + L[1]/2);
34     K[3] = h*(y2[i] + L[2]);
35     L[3] = h*F(a + h*i + h, y[i] + K[2], y2[i] + L[2]);
36
37     y[i+1] = y[i] + (K[0] + 2*K[1] + 2*K[2] + K[3])/6;
38     y2[i+1] = y2[i] + (L[0] + 2*L[1] + 2*L[2] + L[3])/6;
39     eps[i+1] = fabs(ExactVal(a + h*(i+1)) - y[i+1]);
40 }
41 }
42
43 void Adams(std::vector<double>& y, std::vector<double>& eps, double h, int a, int b)
44 {
45     int n = (b-a)/h + 1;
46     std::vector<double> y2(n);
47     Runge_Kutta(y, y2, eps, h, a, b);
48     for(int i = 3; i < n-1; i++)
49     {
50         y[i+1] = y[i] + h/24*(55*y2[i] - 59*y2[i-1] + 37*y2[i-2] - 9*y2[i-3]);
51         y2[i+1] = y2[i] + h/24*(55*F(a + h*i, y[i], y2[i]) - 59*F(a + h*(i-1), y[i-1], y2[i-1])
52             + 37*F(a + h*(i-2), y[i-2], y2[i-2]) - 9*F(a + h*(i-3), y[i-3], y2[i-3]));
53         eps[i+1] = fabs(ExactVal(a + h*(i+1)) - y[i+1]);
54     }
55 }
56
57 int main()
58 {
59     double k = 0.5;
60     double h, h_r, x;
61     int n, m;
62     double y_h;
63     int a = 0;
64     int b = 1;
65
66     std::cin >> h;
67     h_r = h*k;
68     n = (b-a)/h + 1;
69     m = (b-a)/h_r + 1;

```

```

70 std::vector<double> y(n);
71 std::vector<double> eps(n);
72 std::vector<double> rung(m);
73 std::vector<double> eps2(m);
74
75 Adams(y, eps, h, a, b);
76 Adams(rung, eps2, h_r, a, b);
77
78 std::cout << "The solution of the problem using the Adams method is set in a table:" << std
79 ::endl;
80 for(int i = 0; i < n; i++)
81 {
82     std::cout << "x_" << i + 1 << " = " << a + i*h << "; y_" << i + 1 << " = "
83     << y[i] << std::endl;
84     std::cout << "eps = " << eps[i] << "; The error in the Runge–Romberg = " << fabs(y
85     [i]–rung[i/k])/15 << std::endl << std::endl;
86 }
87 return 0;
88 }

```

5 Выводы

Выполнив первое задание четвертой лабораторной работы, я познакомилась с тремя методами численного решения обыкновенных дифференциальных уравнений и систем дифференциальных уравнений 1 и 2 порядков. На некотором интервале вводится разностная сетка — совокупность узлов, в которых будет аппроксимироваться функция. Такая функция называется сеточной и представляется в табличном виде. Метод Эйлера имеет первый порядок точности — приращение функции в следующем узле зависит от тангенса угла в данной точке и от значения шага. Так, при малом шаге считают, что значение неизвестного точного решения совпадает со значением касательной в точке. Несколько модификаций метода Эйлера имеют такой же порядок точности, первый улучшенный метод имеет порядок точности, равный двум. Так же я познакомилась с двумя методами Рунге-Кутты — третьего и четвертого порядков точности. В решении задачи я использовала метод с большим порядком. Метод Рунге-Кутты вычисляет несколько параметров, которые подбираются так, чтобы значение y совпадало со значением разложения в точке x точного решения в ряд Тейлора. Метод Адамса является многошаговым методом — в процессе поиска решения в точке x_k он обращается к уже вычисленным ранее значениям в точках x_{k-1} , x_{k-2} , x_{k-3} . Порядок точности метода Адамса равен четырем.